

**PRIMENA LASERA u FIZIČKOJ HEMIJI**

# **IMPULSNI LASERI I PFH**

**Milan S. Trtica, (e-mail: [etrtica@vinca.rs](mailto:etrtica@vinca.rs))**

**Institut za nuklearne nauke “Vinča”**

**Š.S. Miljanić, M. Kuzmanović**

**Fakultet za fizičku hemiju**

## **- PLAN IZLAGANJA:**

- ŠTA je to LASER ?
- OSOBINE LASERSKOG ZRAČENJA
- KLASIFIKACIJA LASERA
- PRINCIPI RADA LASERA
- SAVREMENI IMPULSNI LASERI
- PRIMENE LASERSKIH SISTEMA

## - ŠTA je to LASER ?

-Termini: LASER; ЛАЗЕР; ОКГ;

- LASER;

**L**ight **A**mplification by **S**timulated **E**mission of **R**adiation

- 1964. god. (A. Prokhorov, N. Basov, C. Townes)- Nobelova nagrada.
- C. Townes, 1954. god. MASER;  $\text{NH}_3$ ,  $\lambda=1,25 \text{ cm}$ ,  $P_L=10^{-10} \text{ W}$ .
- Maiman (Hughes Lab.), 1960. god., LASER, Rubinski laser.

# - OSOBINE LASERSKOG ZRAČENJA

- Intenzivno
- Monohromatično
- Usmereno
- Koherentno

- Intenzivnost zračenja:

$$I_L = (E/t)/A = P/A, \text{ (W/cm}^2\text{)}$$

Tabela 1. Intenzivnost "izvora"

Tip "izvora"	Intenzitet, W/cm <sup>2</sup>
Sunce	530
Crno telo (λ=10 μm, T= 1473 K)	53
Lampa	3 · 10 <sup>3</sup>
He-Ne laser	4 · 10 <sup>4</sup>
Ar- laser	4 · 10 <sup>8</sup>
TEA CO <sub>2</sub> laser	4,5 · 10 <sup>11</sup>

Tabela 2. Radiometrijske veli. "izvora"

$$- I_L(a) = (E/t)/\pi\theta^2 = P/\Omega, \text{ (W/sr)}$$

$$- B = P/\Omega\omega_0^2, \text{ (W/cm}^2 \cdot \text{sr)}$$

$$- B_\lambda = B/\Delta\lambda, \text{ (W/cm}^2 \cdot \text{sr} \cdot \text{nm})$$

Tip izvora	$I_L(a), \text{ W/sr}$	$B, \text{ W/cm}^2 \cdot \text{sr}$	$B_\lambda, \text{ W/cm}^2 \cdot \text{sr} \cdot \text{nm}$
Sijalica (66 W)	5	/	/
He-Ne laser	300	$2,5 \cdot 10^5$	$4 \cdot 10^{14}$
Hg- lampa	/	95	9,5

(He-Ne laser:  $P_L = 2 \cdot 10^{-3} \text{ W}$ ,  $\lambda = 632,8 \text{ nm}$ ,  $\Delta\lambda = 6 \cdot 10^{-10} \text{ nm}$ .

Hg-lampa:  $P = 100 \text{ W}$ ,  $\lambda (\text{Hg}) = 546 \text{ nm}$ ,  $\Delta\lambda = 10 \text{ nm}$ ).

- Monohromatičnost zračenja:

$$\Delta v/v = 10^{-15}.$$

$$\text{LASER: } R_{\lambda}^L = 1 \cdot 10^7,$$

$$\text{SUNCE: } R_{\lambda}^S = 1 \cdot 10^{-4},$$

$$\text{W/(cm}^2 \cdot \text{nm}),$$

$$\text{W/(cm}^2 \cdot \text{nm}).$$

## - Usmerenost zračenja:

$$\theta = \lambda / \pi \omega_0, \text{ (mrad).}$$

## - Koherentnost zračenja:

- Vremenska (slika 1),  
 $L_K = c \cdot \Delta t, L_K = c / \Delta v, \text{ (cm).}$

$L_K(\text{Hg}) = 2 \text{ cm},$   
 $L_K(\text{He-Ne las.}) = 30 \text{ cm} - 10^7 \text{ m, (Km).}$

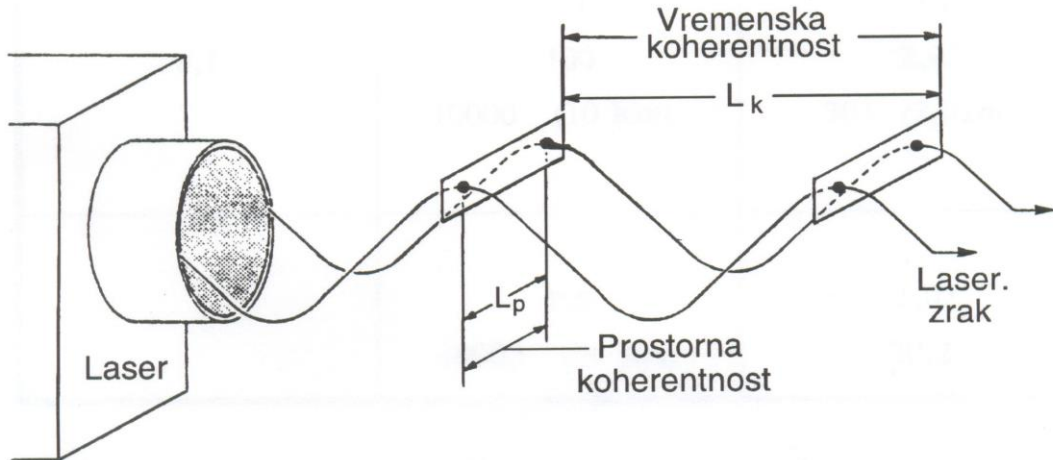
## - Prostorna,

$$L_P = 1,22 \cdot \lambda / \theta, \text{ (cm).}$$

Tabela 3. Prostiranje laser. snopa

$\omega_0,$ cm	Z, m	$\omega,$ cm
0,1	1	0,1
	100	2,02
	10000	201
1	1	1
	100	1,02
	10000	20,2

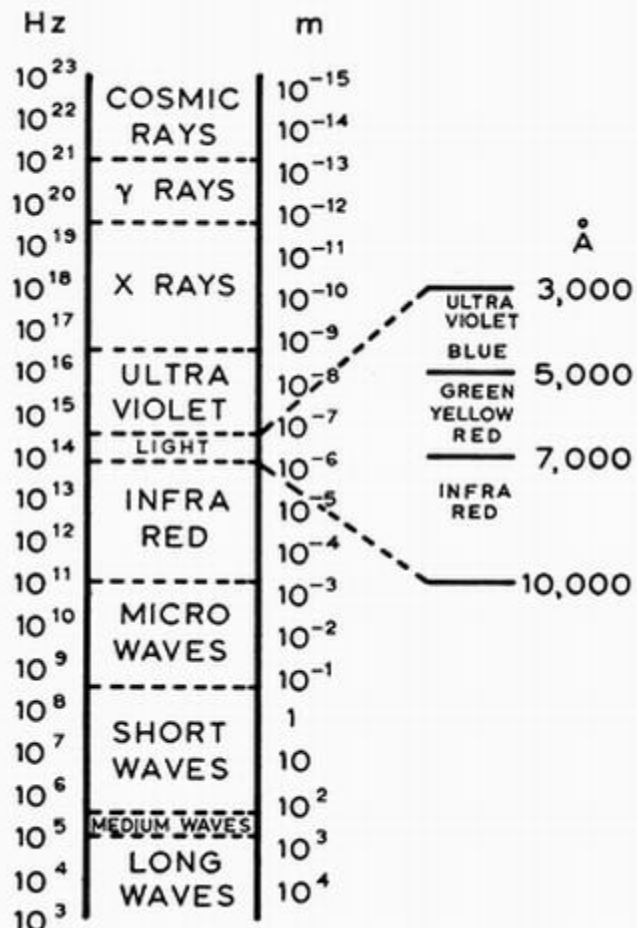
He-Ne laser:  $\lambda = 632,8 \text{ nm, TEM}_{00}.$



Slika 1. Koherentnost las. zračenja.

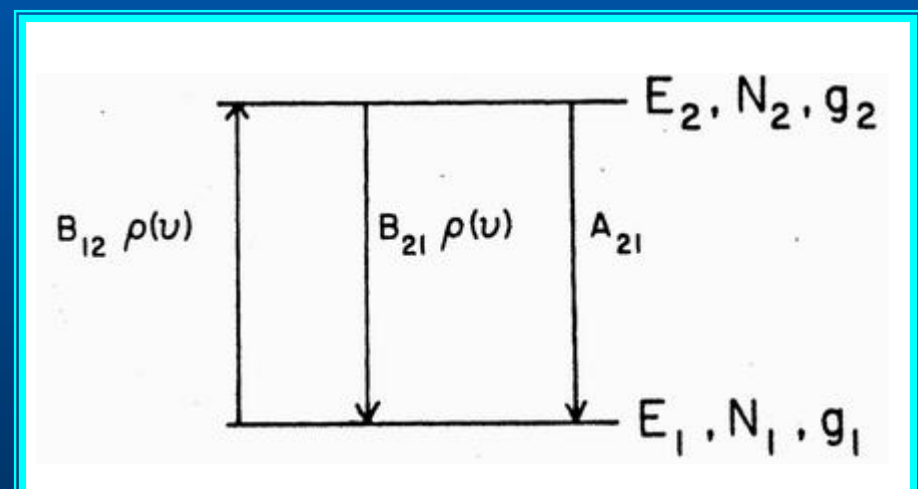
## - KLASIFIKACIJA LASERA

- Prema aktivnoj sredini (gasni; tečni; čvrsti).
- Prema "čestici" (atomi; joni; molekuli).
- Prema talasnoj dužini ([Slika 2](#)) IR; vidljivi; UV; itd.).
- Prema vremenskoj evoluciji "izlaza".
  - Kontinualni las.:  $P$ ;  $\lambda$  ( $\Delta\lambda$ ,  $\Delta\nu$ );  $\theta$ ; "mod";  $\eta$ .
  - Impulsni las.:  $E$ ;  $\Delta\tau_{1/2}$  (ms,  $\mu$ s, ns, ps, fs, as);  $P_P$ ;  $f$ ;  $P_{sr}$

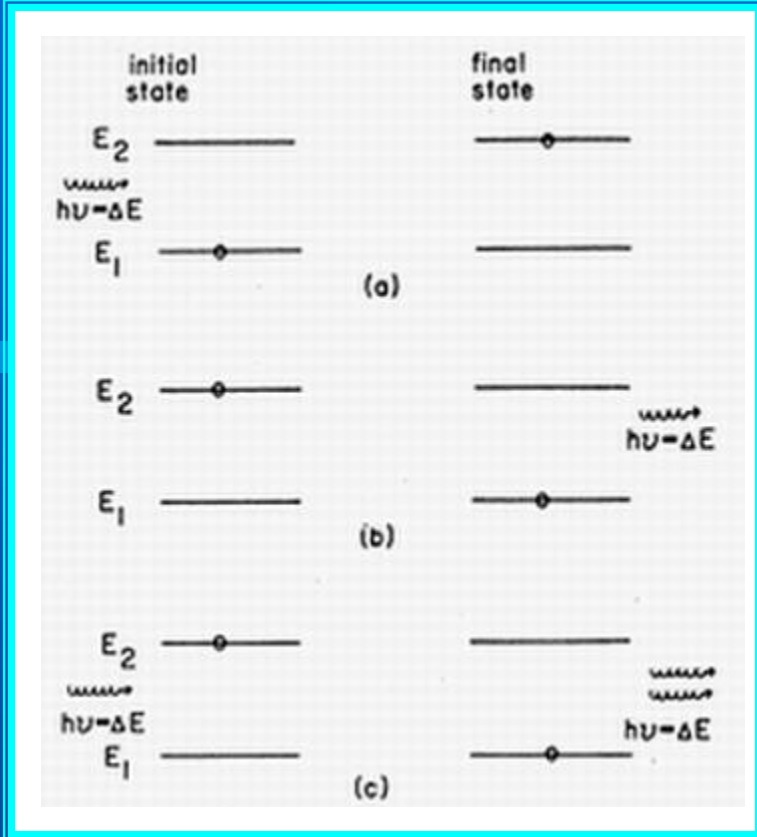


Slika 2. Elektromagnetni spektar zračenja.

## - PRINCIPI RADA LASERA



Slika 3. Sistem dva nivoa.



*Slika 4. Procesi apsorpcije i emisije zračenja  
(sistem dva nivoa).*

- Apsorpcija zračenja,  $P_{12} = B_{12} \cdot \rho(v) \cdot dt$

- Spontana emisija,  $P_{21} = A_{21} \cdot dt$

- Stimulisana emisija,  $P_{21} = B_{21} \cdot \rho(v) \cdot dt$

$$B_{12} = B_{21}$$

- Sistem većeg broja čestica:

$$N_2(A_{21} + \rho(v) B_{21}) = N_1 B_{12} \cdot \rho(v)$$

$$A_{21}/(B_{21} \cdot \rho(v)) = \exp(hv/kT) - 1,$$

Primer: Svetlosni izvor,  $T = 1000$  K,  $\lambda = 500$  nm,  
"odnos" =  $10^{12}$ .

$N_1 > N_2$ ;  $N_2 = N_1$ ;  $N_2 > N_1$ , inverzija naseljenosti.

# Bolcmanov zakon:

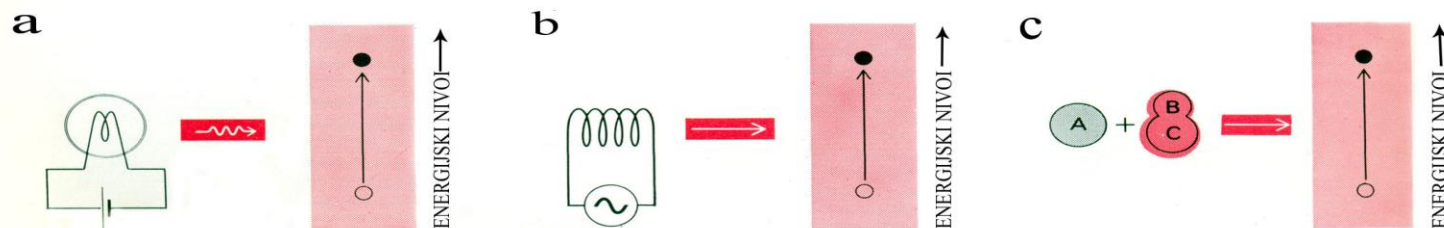
$$N_2/N_1 = \exp(-hv/kT)$$

Slika 5. Dijagram energetskih nivoa.

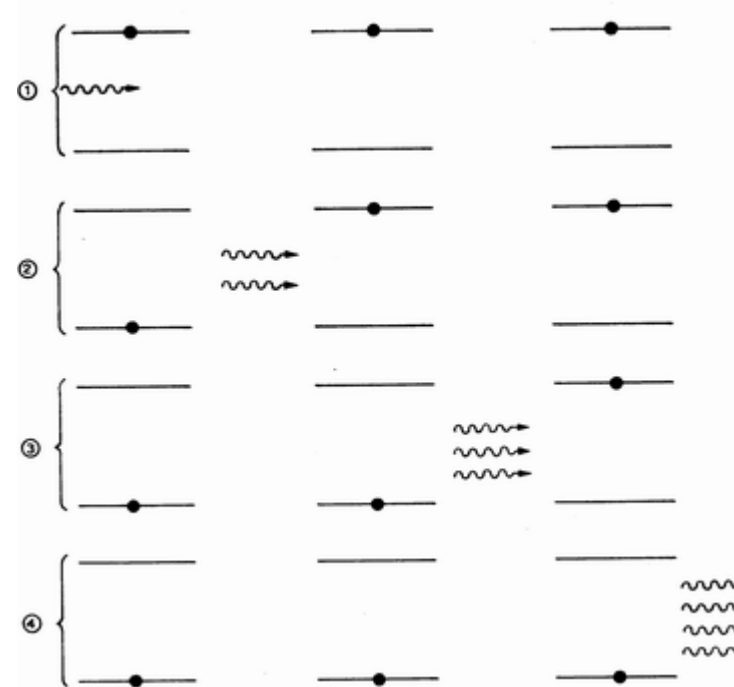
## POJAČANJE:

$$\rho(v)/\rho_0(v) = \exp(-\alpha \cdot l),$$

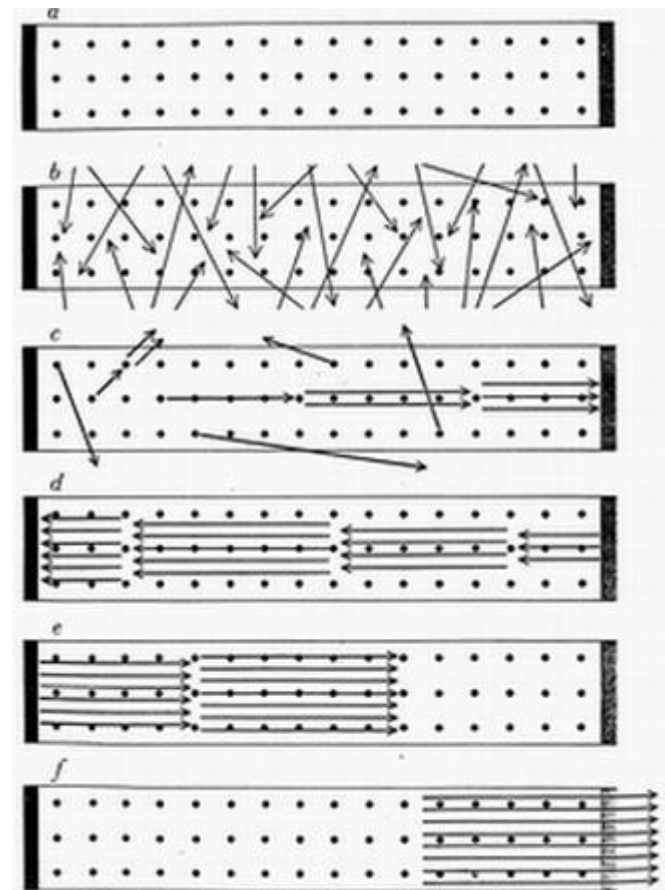
$$\alpha = (N_1 - N_2) \cdot \sigma$$



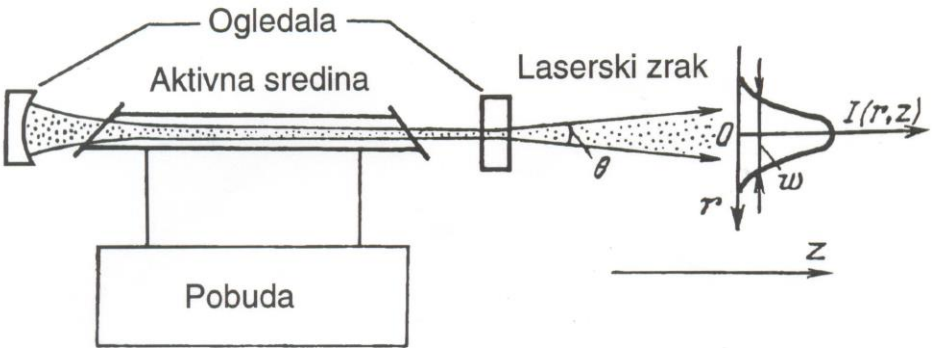
Slika 6. Tehnike kreiranja inverzije naseljenosti.



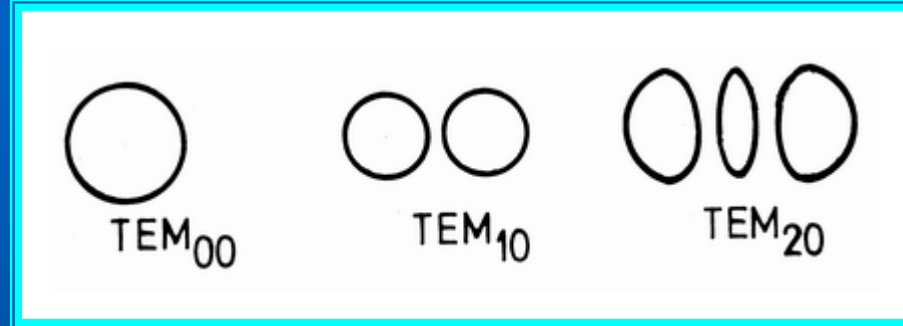
*Slika 7. Proces pojačanja (sistem tri čestice).*



*Slika 8. Procesi u laseru.*



*Slika 9. Dizajn lasera.*



*Slika 10. Modovi lasera.*

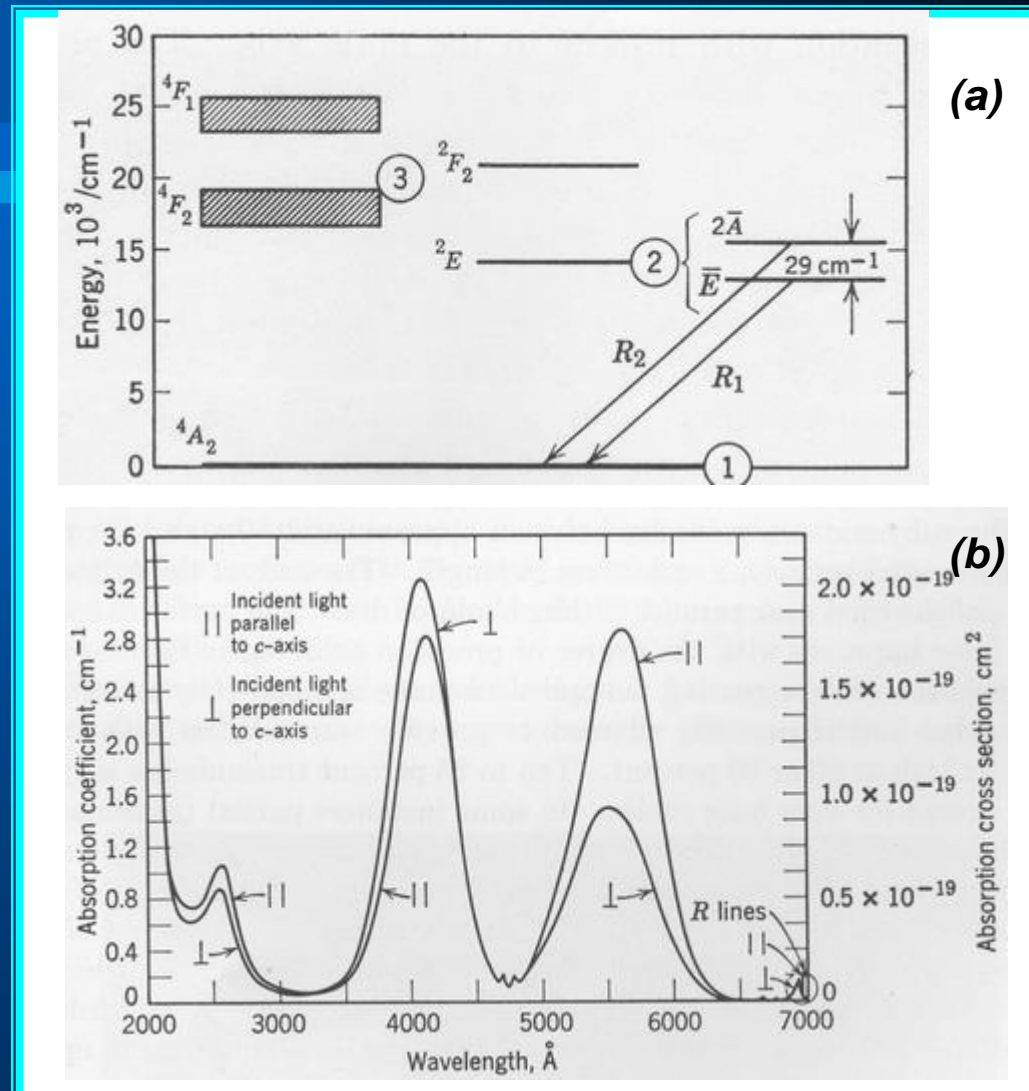
- **SAVREMENI IMPULSNI LASERI**
  - Čvrsto-telni sistemi
  - Tečni sistemi
  - Gasni sistemi

## - Čvrsto-telni sistemi

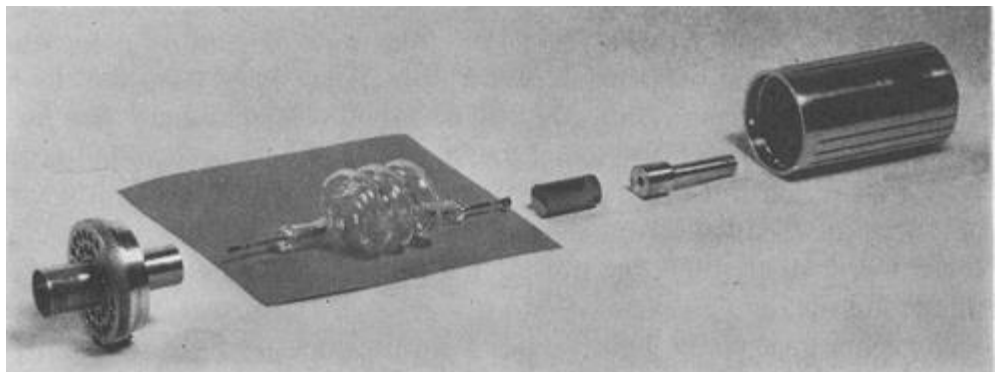
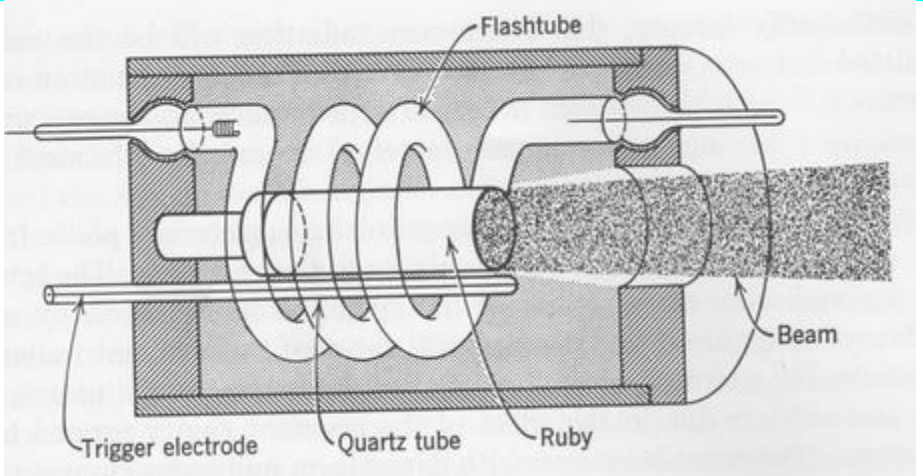
- Rubinski laser
- Nd:YAG laser
- Ti:Safirni laser

### - Rubinski laser:

$\text{Al}_2\text{O}_3$  i 0,05%  $\text{Cr}_2\text{O}_3$ . ( $\text{Cr}^{3+}$ ).



Slika 11. Energetski nivoi  $\text{Cr}^{3+}$  jona (u  $\text{Al}_2\text{O}_3$ ) (a), apsorpcioni spektar rubina (b).

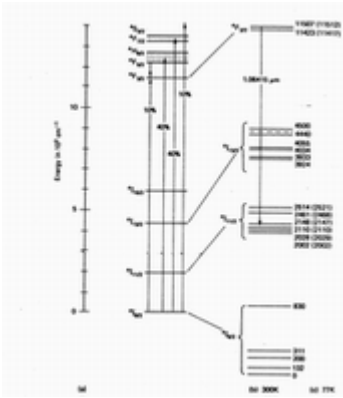


Izlazni parametri: E, 1-100 J;  
 $\Delta\tau_{1/2}$ , 1 ms (Q-switching, 10 ns);  
 $P_p$ , KW (MW, GW);  $\lambda$ , 694,3 nm;  
 $\Delta\lambda$ , 0,1-1 Å;  $\theta$ , mrad; f, reda Hz.

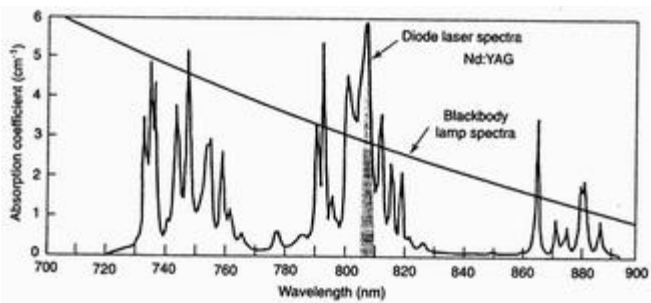
- Nd:YAG laser:

YAG i  $\text{Nd}_2\text{O}_3$ . ( $\text{Nd}^{3+}$ ).

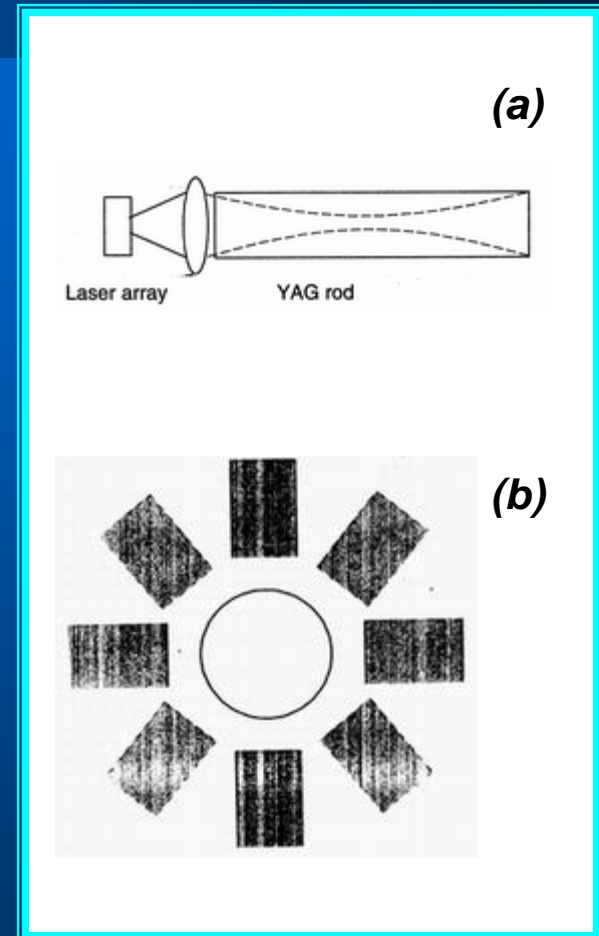
Slika 12. Konstrukcija i fotografija rubinskog lasera.



(a)



(b)



*Slika 13. Energetski nivoi Nd<sup>3+</sup> jona (u matrici YAG) (a), apsorpcioni spektar (b).*

*Slika 14. Konstrukcija Nd:YAG lasera.*

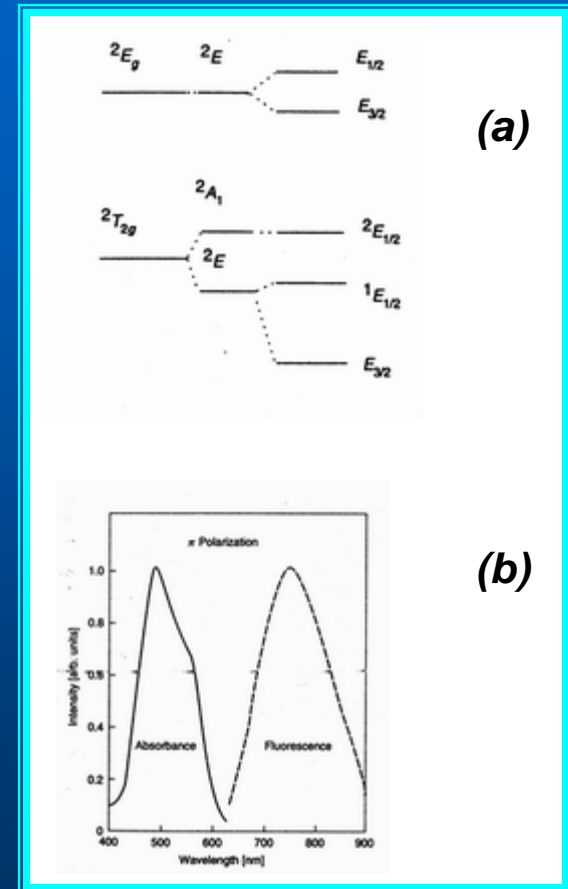
Izlazni parametri: E, 1-100 J;  $\Delta\tau_{1/2}$ , 1 ns (Q-switching); P<sub>P</sub>, MW (GW);  $\lambda$ , 1064 nm;  $1/\Delta\lambda$ , 4 cm<sup>-1</sup>;  $\theta$ , mrad; f, nekoliko Hz.

- “mode locking”: E, 1-100 J;  $\Delta\tau_{1/2}$ , reda ps.

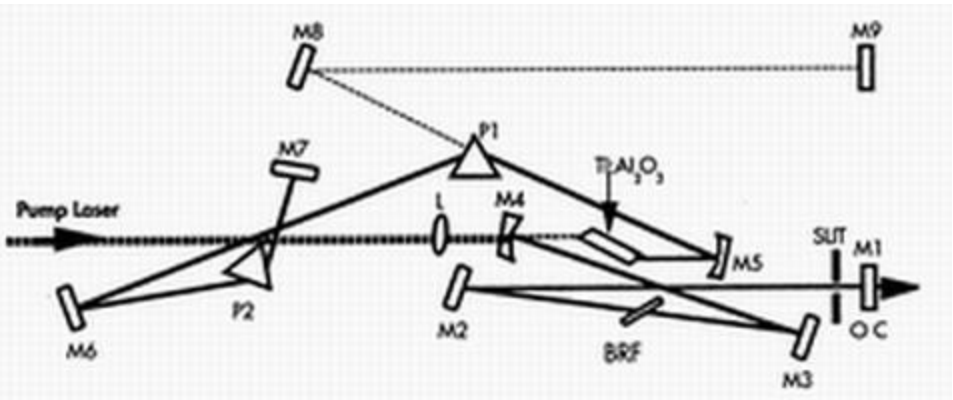
-  $\lambda$ , 1064 nm, 532 nm, 355 nm.

- Ti:Safirni laser:

Ti<sup>3+</sup> : Al<sub>2</sub>O<sub>3</sub> (Safir).



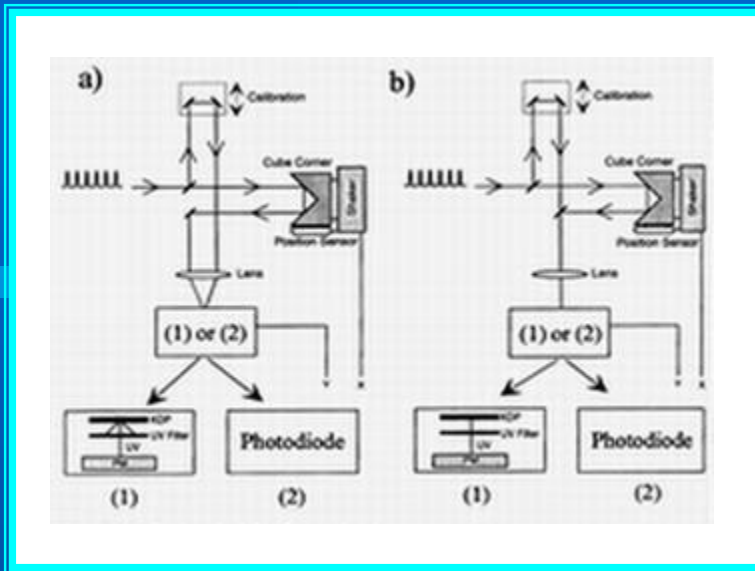
Slika 15. Energetski dijagram za Ti:safirni las. (a), apsorp. i emis. spektar (b).



Slika 16. Konstrukcija Ti:Safirnog lasera.

Izlazni parametri: E, nJ do mJ;  $\Delta\tau_{1/2}$ , reda fs do 200 fs (mode-locking);  $P_P$ , MW (GW, TW);  $\lambda$ , 700 do 1000 nm;  $\Delta\nu$ , reda GHz;  $\theta$ , mrad; f, MHz.

- pumpanje, Ar<sup>+</sup> laserom; “mode-locking” (“Kerr-lens” tehnika).
- merenje kratkog impulsa: vremenski auto-korelator.
- atosekundni impulsi: SRR; VH.

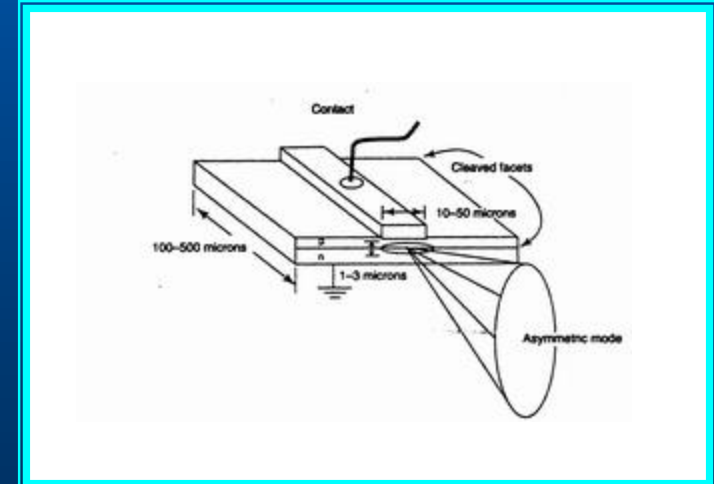


*Slika 17. Auto-korelator.*

**GaAlAs,  $\lambda$ , 808 nm (Nd:YAG las.)**

Izlazni parametri: E, pJ do nJ;  $\Delta\tau_{1/2}$ , 1 ns (ps);  
 $P_P$ , reda W;  $\lambda$ , 375 do 1060 nm;  $\Delta\lambda$ , 3 nm;  
 $\theta$ , reda 10 mrad; f, do MHz.

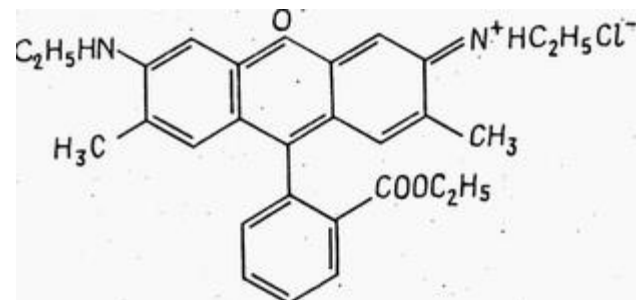
- Poluprovodnički laseri:



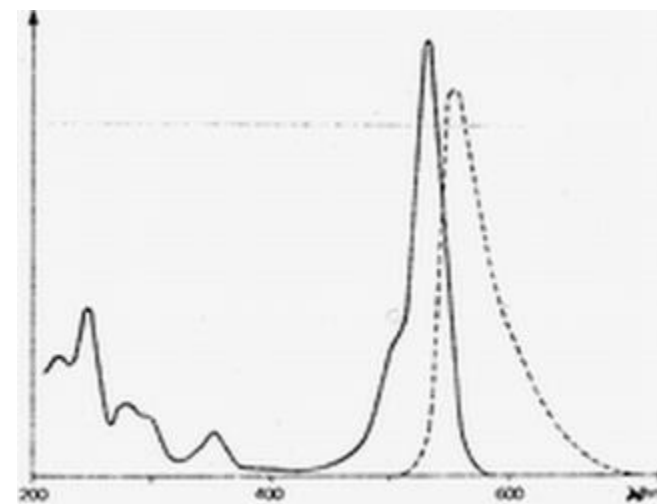
*Slika 18. Izgled PP lasera.*

## - Tečni sistemi

- Dye: Rodamin 6G/rastvarač

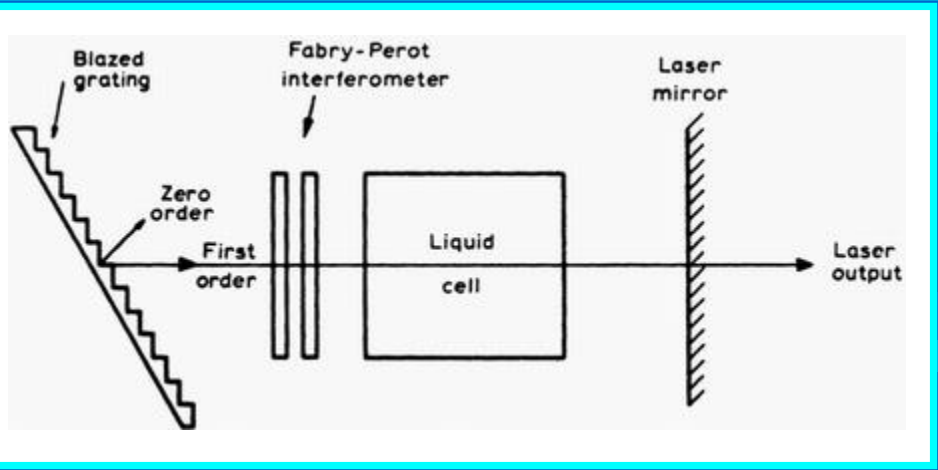


(a)



(b)

Slika 19. Struktura Rodamina 6G (a), spektar R 6G u etanolu (b).



*Slika 20. Konstrukcija tečnog lasera.*

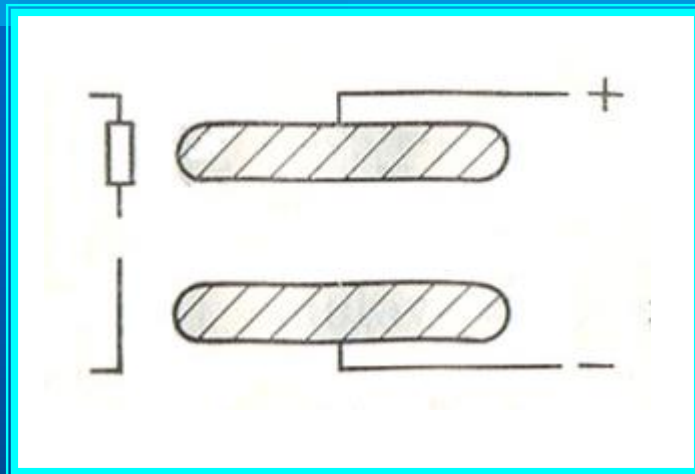
Izlazni parametri: E, reda J;  $\Delta\tau_{1/2}$ , 1 ns (ps, fs- domen);  $P_p$ , MW;  $\lambda$ , 340 do 1175 nm;  $\Delta\lambda$ , 0,5 do 0,01 Å;  $\theta$ , mrad; f, 100 Hz.

## - Gasni sistemi

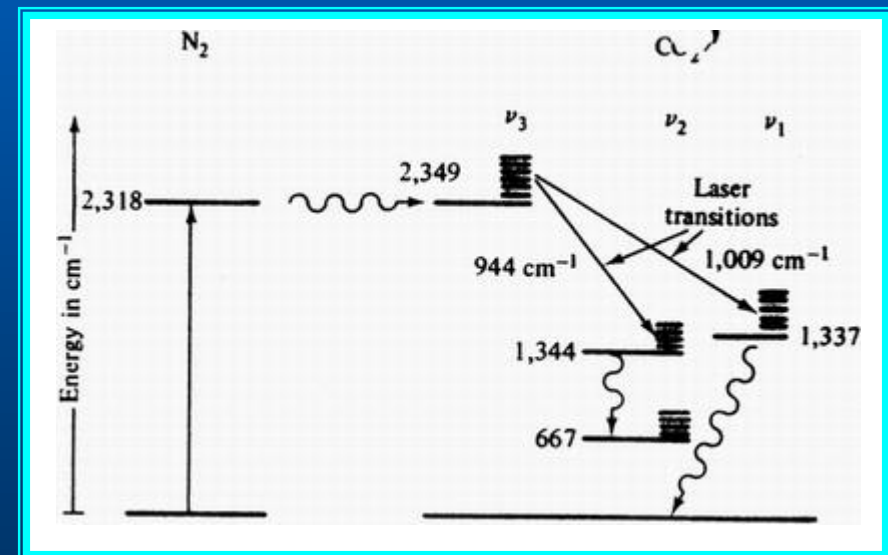
- TEA CO<sub>2</sub> laser
- Excimerni laseri
- Hemijski laseri
- Optički pumpani laseri

## -TEA CO<sub>2</sub> laser:

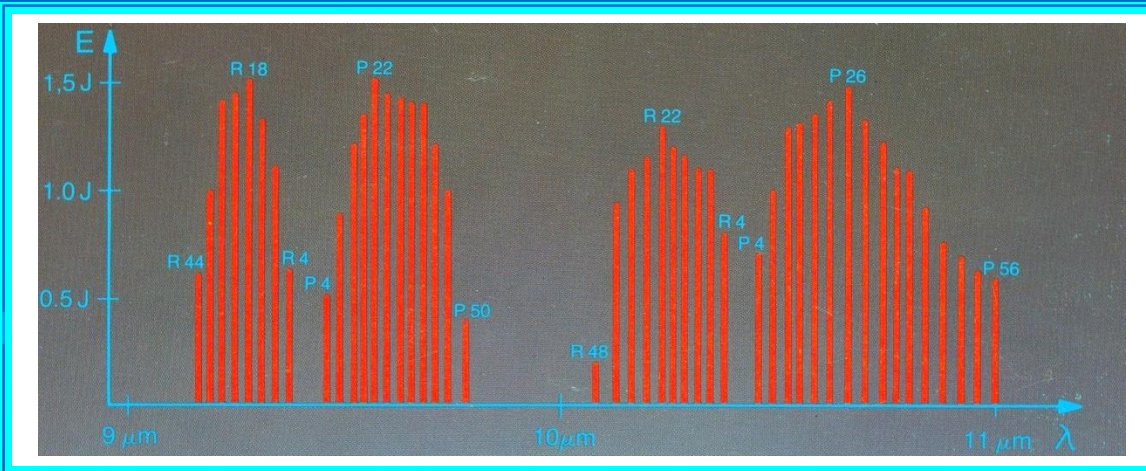
# Transversely Excited Atmospheric CO<sub>2</sub>/N<sub>2</sub>/He; 1 atm



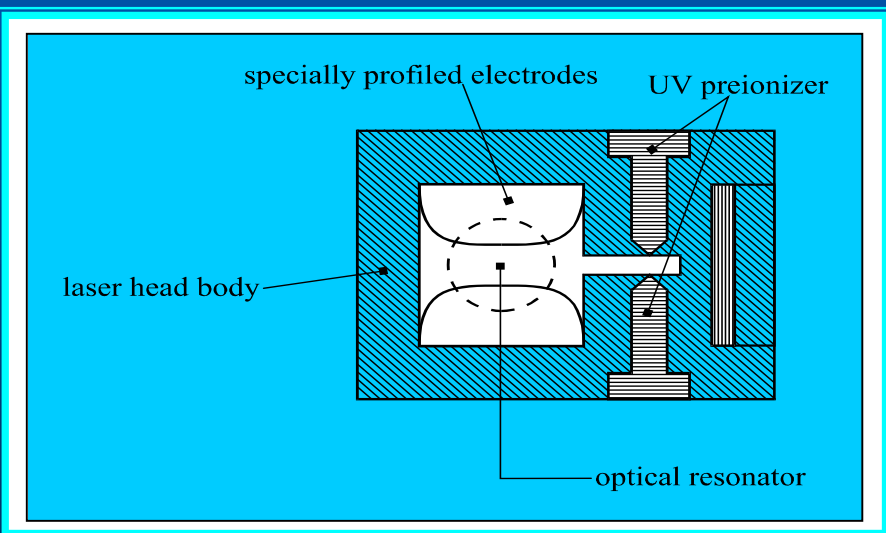
Slika 21. Šematski prikaz TEA CO<sub>2</sub> lasera.



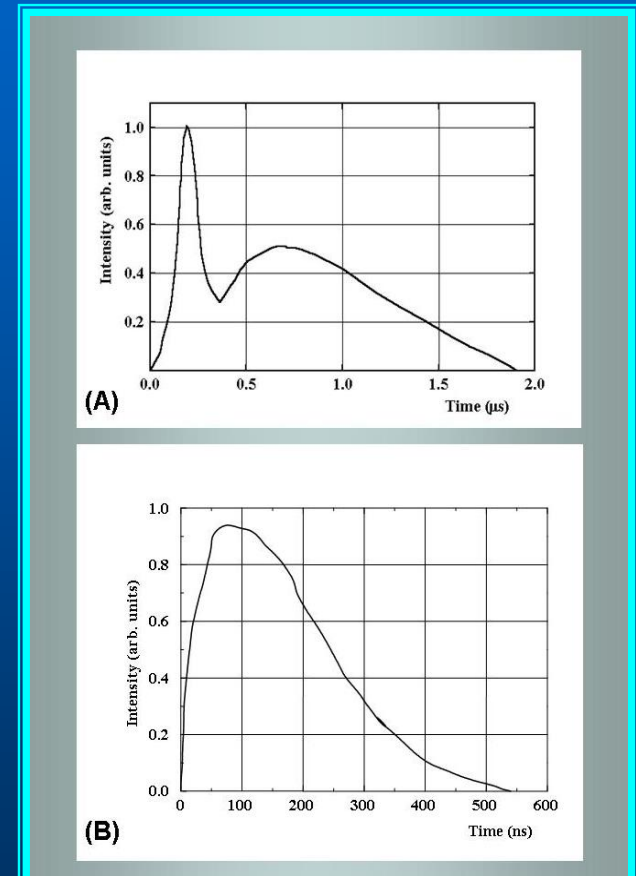
Slika 22. Energetski nivoi CO<sub>2</sub> molekula.



*Slika 23. Opseg zračenja TEA CO<sub>2</sub> lasera.*



*Slika 24. Dizajn TEA CO<sub>2</sub> lasera.*



*Slika 25. Vremenski oblik TEA CO<sub>2</sub> (A) i HF (B) lasera.*

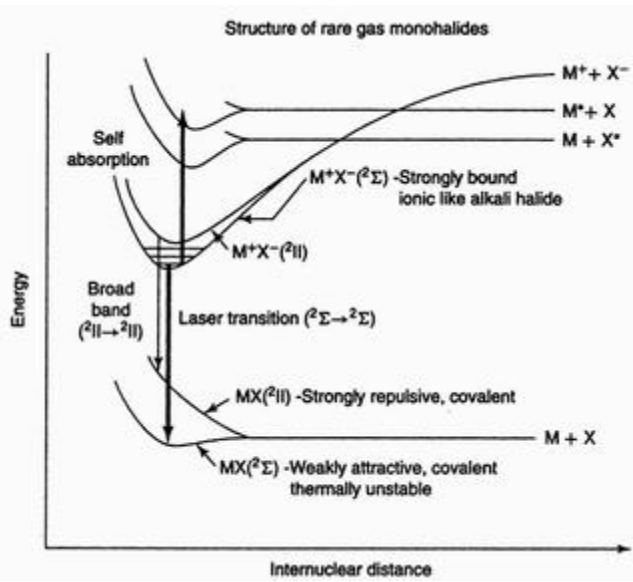


*Slika 26. Foto TEA CO<sub>2</sub> lasera.*

**Izlazni parametri:** E, do 100 J; Δt<sub>1/2</sub>, reda μs, ns, ps; P<sub>P</sub>, MW (GW); λ, 10,6 μm; Δv, 1 GHz; θ, mrad; f, KHz.

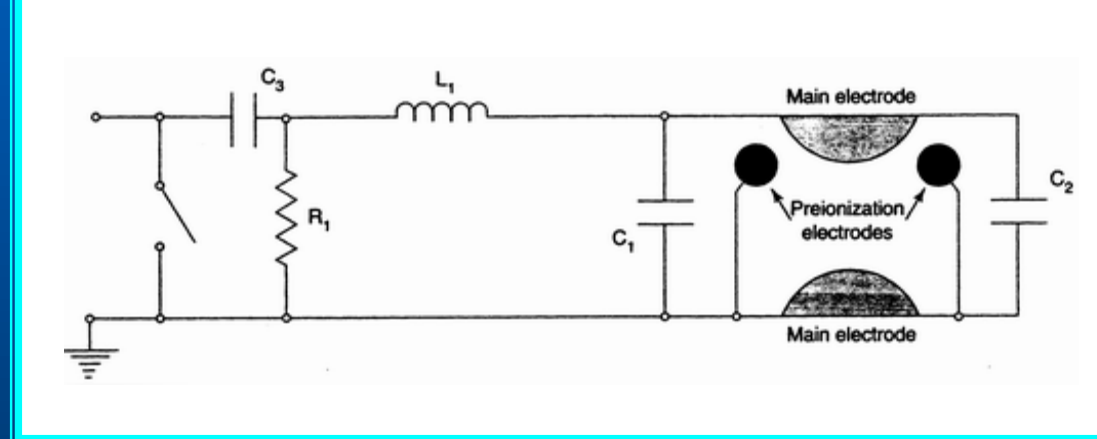
## - Excimerni laseri:

- XeCl; KrF; ArF; F<sub>2</sub>, itd.



Slika 27. Energetski nivoi excimernih molekula.

- dizajn lasera: Sl. 28; p- reda atm



Slika 28. Dizajn excimernog lasera.

Izlazni parametri: E, do J;  $\Delta\tau_{1/2}$ , reda ns;  $P_P$ , MW (GW);  $\lambda$ , 150 do 308 nm;  $\Delta\nu$ , GHz;  $\theta$ , mrad; f, KHz.

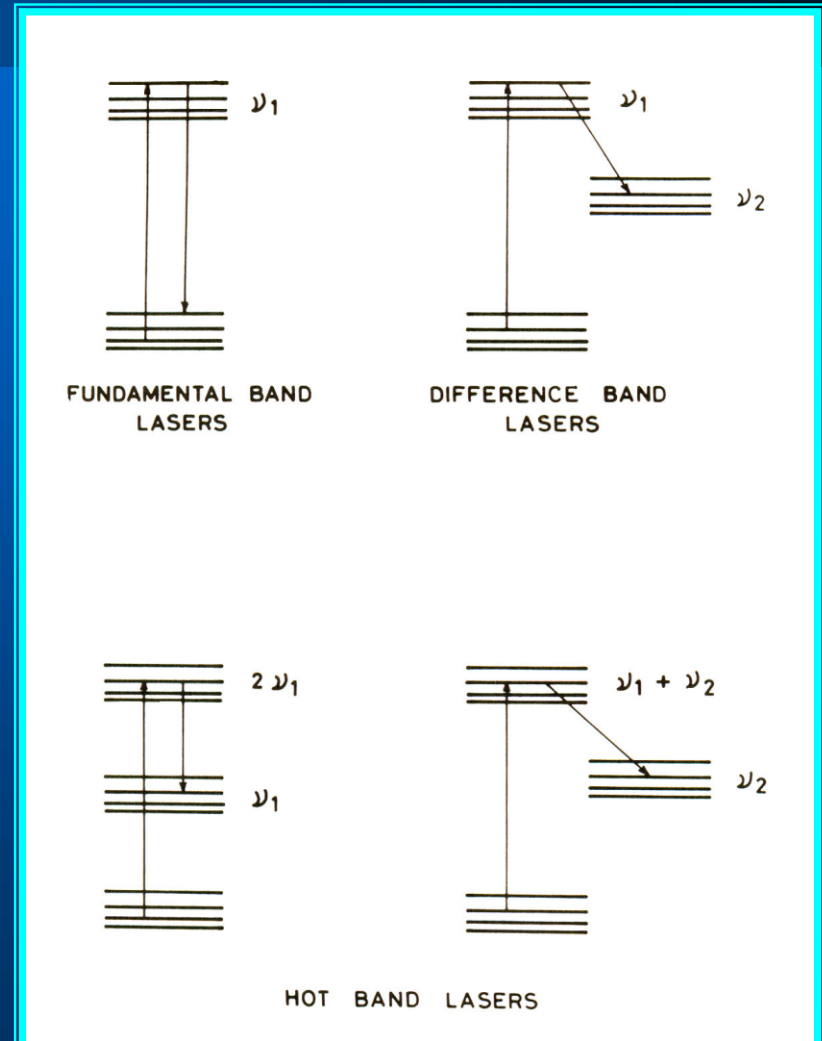
## - Hemijski laser:



HCl\*, CO\*, itd.

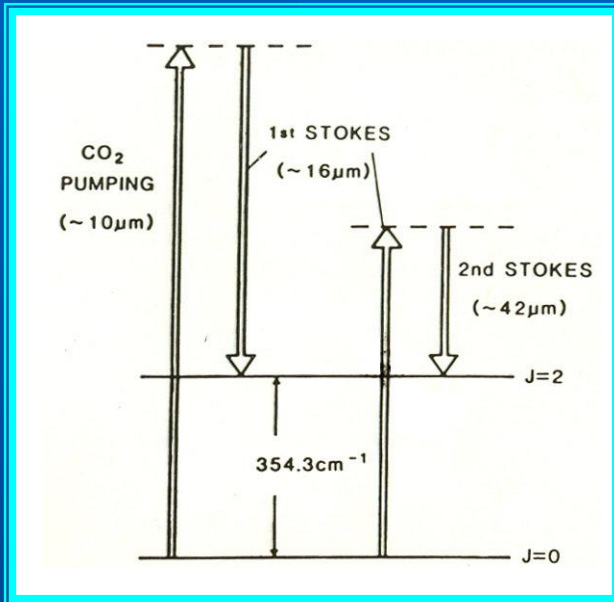
## - Optički pumpani laseri:

NH<sub>3</sub>; CF<sub>4</sub>; (*p*-H<sub>2</sub>); itd.  
(npr. pumpanje TEA CO<sub>2</sub> las.).

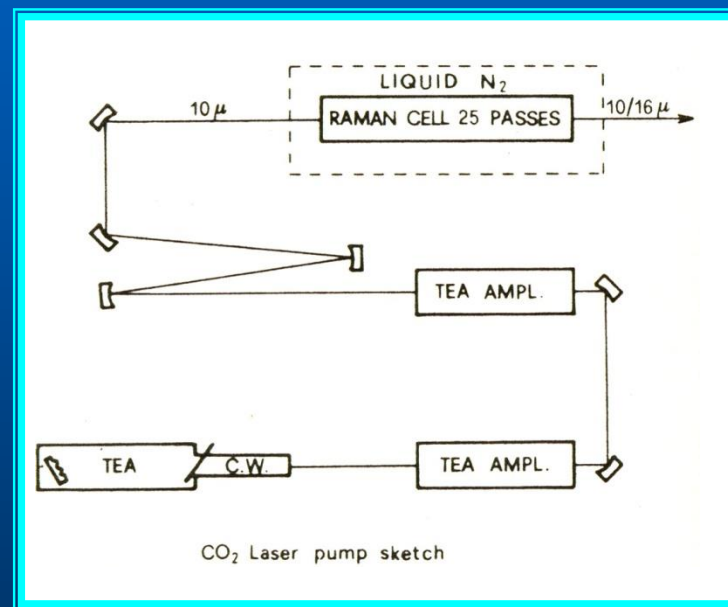


Slika 29. Šema opt. pum. lasera.

## - Optičko pumpanje: $p\text{-H}_2$ laser



Slika 30. Energ. nivoi  $p\text{-H}_2$ .



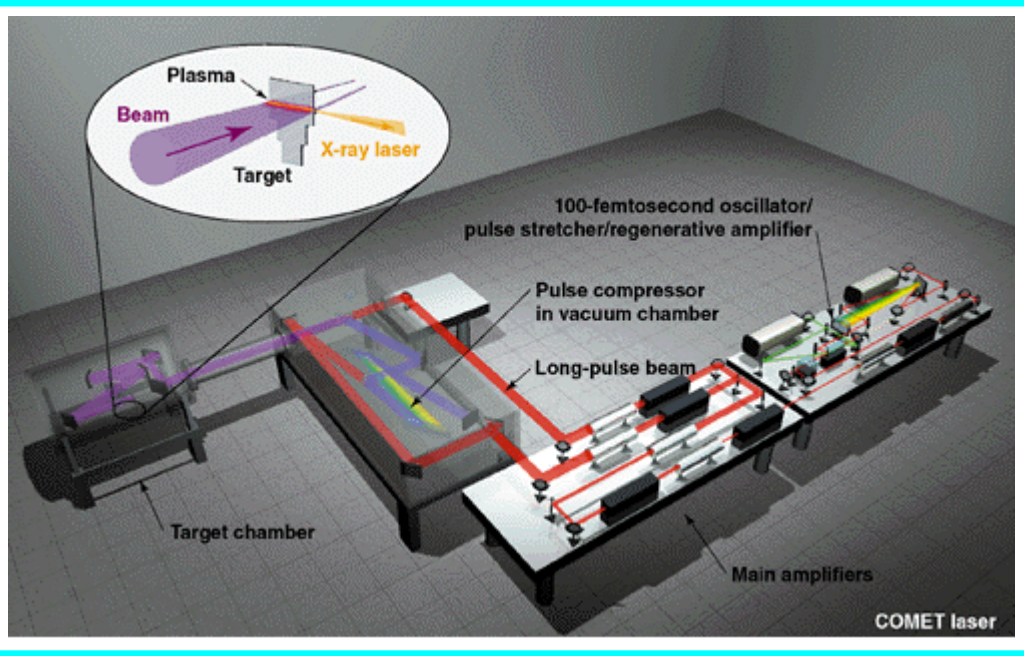
Slika 31. Dizajn opti. pumpanog  $p\text{-H}_2$  lasera.

# - Plazma laseri

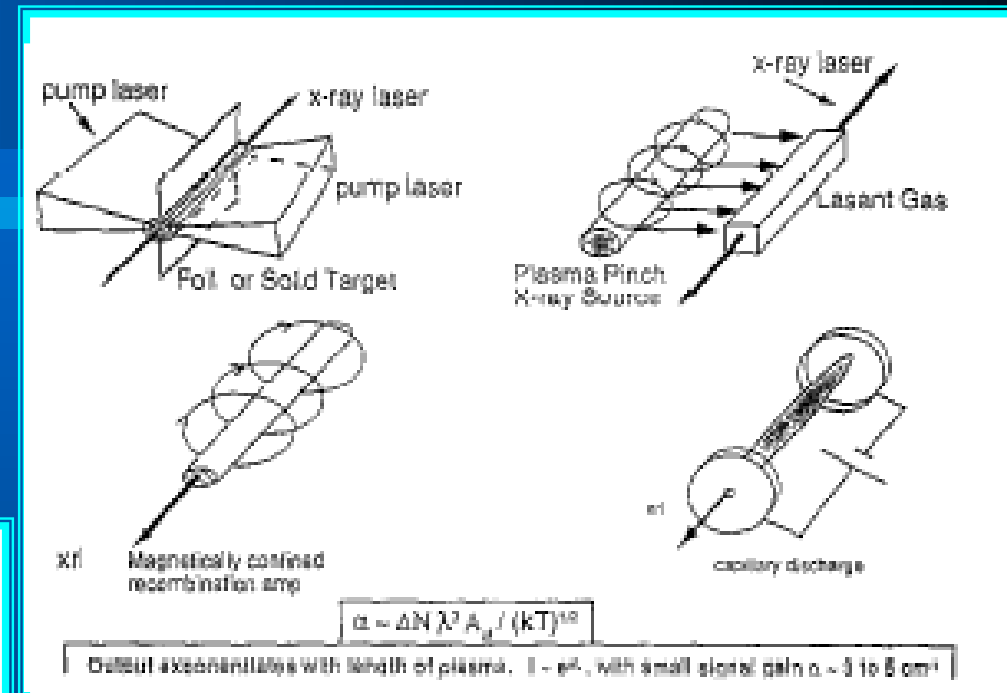
## - X- laseri:

“Ne- like” Ar jon;  $\lambda$ , 46,68 nm.

“Ni- like” Pd jon;  $\lambda$ , 14,7 nm.



Slika 33. Šema “X-ray” lasera.



Slika 32. Dizajn “X-ray” lasera.

Karakter. pump. lasera:  $P_p, \text{TW}$ ;  $\lambda$ , 1054 nm,  
 $\tau_{1/2}$ , 500 fs; f, 1-4 imp/min.

Izlazni parametri: E,  $\mu\text{J}/\text{mJ}$ ;  $\Delta\tau_{1/2}$ , 0,02 do 3 ns; P<sub>P</sub>, MW (GW);  $\lambda$ , 3,5 do 50 nm;  $\theta$ , mrad; f, reda Hz.

- Jodidni laser:  $\text{C}_3\text{F}_7\text{I} + h\nu_1 \rightarrow \text{C}_3\text{F}_7 + \text{I}^*$ ,  $\text{I}^* \rightarrow h\nu_2$ , 1,315  $\mu\text{m}$ .
- Laseri na bazi metalnih para: Cu, Au, itd.
  - Cu laser,  $\lambda$  (510,5; 578,2 nm).
  - “Free Electron Laser”

## Laseri na bazi slobodnih elektrona

- Zaključak:

## - PRIMENE IMPULSNIH LASERA u FH

### Osobine laserskog zračenja:

- Intenzivnost
- Monohromatičnost
- Usmerenost
- Koherentnost

$E$ ;  $\Delta\tau_{1/2}$  (ms,  $\mu$ s, ns, ps, fs, as).  
 $P_p$  (kW; MW; GW; TW; Peta-W; Exa-W).

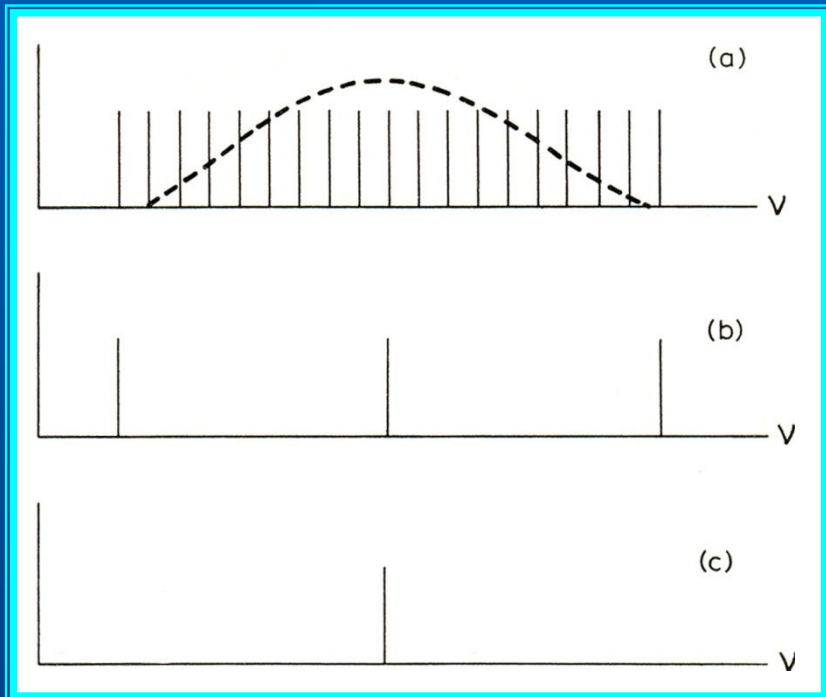
- Las. indukovane i kontrolirane hem. reakcije
- Preparativna hemija
- Analitička hemija/Spektrohemija
- Dijagnostika hemijskih procesa, itd.



Aksijalni modovi:

$$n \cdot \lambda/2 = L; v = nc/2L; \Delta v = c/2L.$$

$$(L = 50 \text{ cm}, \lambda = 0,5 \mu\text{m}, n = ?; n = 2 \cdot 10^6).$$



Slika 34. Kriva pojačanja i aksijalni modovi.